

# $dE/dx$ идентификация в GEM. Часть 2 (466 runs).

## Руфанов И.А. 29 ноября 2021 г.

### 1 Предыстория.

В предшествующем отчете по 86 ранам dedxGem-08Sept.pdf представлены:  
 метод оценки потерь трека по  $n$  минимальным амплитудам;  
 каты на неэффективные зона GEM: HV разделители, мертвые стрипы, пучковое отверстие;  
 поправка амплитуды на длину трека в GEM;  
 зависимость амплитуд и HV из tango от номера рана.

Полный список ранов с изменениями HV docs/SpillsGem/SpillsGem.pdf.

Рисунки интенсивности в спилах по всем ранам в docs/Trigger.

Выступление Андрея Галаванова на VM@N митинге в Алуште: ~30% рост амплитуды GEM при увеличении температуры на 5°.

### 2 Увеличение количества ранов в анализе.

20-SEP-2021 Лалё выложил на /eos/nica/bmn/users/kovachev/efficiency/SIGEM/withcomp/ID 446 файлов. Я добавил к ним еще 20 пропущенных из старых 86:

3772 3786 3789 3807 3813 3816 3817 3829 3849 3863  
 3884 3914 3993 3997 4020 4183 4209 4316 4320 4688.

Полный список 466 ранов:

3756,3759,3762,3763,3765,3766,3767,3768,3770,3772,3774,3775,3777,3778,3781,  
 3782,3783,3784,3785,3786,3789,3790,3791,3792,3793,3796,3797,3799,3800,3805,  
 3807,3808,3810,3811,3812,3813,3815,3816,3817,3819,3820,3821,3826,3828,3829,  
 3833,3834,3843,3846,3849,3850,3851,3852,3853,3855,3859,3860,3861,3862,3863,  
 3865,3866,3867,3868,3871,3872,3880,3881,3884,3885,3889,3891,3893,3894,3896,  
 3898,3899,3902,3903,3905,3906,3907,3908,3911,3914,3915,3919,3920,3922,3926,  
 3928,3931,3932,3939,3940,3942,3950,3951,3952,3954,3956,3958,3959,3961,3962,  
 3963,3965,3967,3969,3971,3974,3976,3977,3978,3979,3980,3981,3983,3986,3988,  
 3989,3990,3991,3993,3994,3997,3998,3999,4000,4001,4002,4004,4006,4008,4009,  
 4014,4015,4017,4019,4020,4021,4022,4023,4024,4026,4037,4038,4039,4040,4041,  
 4042,4043,4045,4046,4047,4048,4049,4050,4052,4053,4054,4055,4056,4057,4058,  
 4061,4064,4066,4074,4076,4078,4081,4083,4086,4087,4088,4089,4090,4092,4096,  
 4097,4098,4111,4113,4130,4131,4132,4134,4138,4139,4140,4141,4142,4143,4144,  
 4145,4146,4147,4157,4159,4160,4161,4162,4164,4165,4168,4169,4170,4171,4173,  
 4174,4179,4181,4182,4183,4188,4189,4192,4194,4195,4197,4198,4200,4201,4202,  
 4203,4206,4207,4208,4209,4210,4211,4212,4213,4214,4216,4219,4220,4221,4222,  
 4224,4225,4229,4230,4232,4233,4236,4239,4240,4241,4242, **4245,4246,4247**, 4251,  
 4252,4255,4257, **4259,4260**,4261,4262,4265,4268,4270,4271,4272,4273,4274,4276,  
 4278,4279,4287,4288,4290,4291,4292,4301,4302,4304,4305,4311,4312,4313,4314,

4315,4316,4317,4318,4319,4320,4321,4322,4323,4324,4325,4327,4329,4331,4334,  
4335,4336,4340,4343,4345,4346,4347,4350,4351,4352,4354,4357,4365,4366,4367,  
4369,4371,4372,4373,4377,4378,4384,4386,4387,4388,4389,4390,4392,4393,4395,  
4396,4397,4398,4399,4400,4410,4412,4413,4420,**4421,4422,4424,4425,4426,4428,**  
**4429,4430,4431,4435,4436,4438,4442,4444,4445,4446,4448,4450,4453,4454,4456,**  
**4457,4458,4459,4460,4461,4464,4469,4470,4471,**4472,4473,4474,4477,4482,4485,  
4486,4488,4489,4490,**4494,4495,4496,4497,4498,**4500,4502,4503,4504,4505,4508,  
**4512,**4514,4519,4520,4521,4529,4534,4535,4537,4538,4539,4540,4541,4548,4551,  
4552,4553,4554,4565,4568,4569,4601,4603,4611,4612,4615,4617,4619,4620,4622,  
4624,4626,4627,4628,4630,4631,4632,4633,4634,4635,4637,4639,4642,4643,4644,  
4647,4649,4652,4654,4655,4656,4658,4660,4661,4662,4663,4664,4665,4669,4670,  
4672,4674,4677,4679,4681,4682,4683,4684,4688,4690,4691,4693,4695,4698,4700,  
4704.

Жирным помечены раны с пониженным HV в последнем GEM, курсивом в 4251-4257 - увеличенное на 100 V HV последнего GEM.

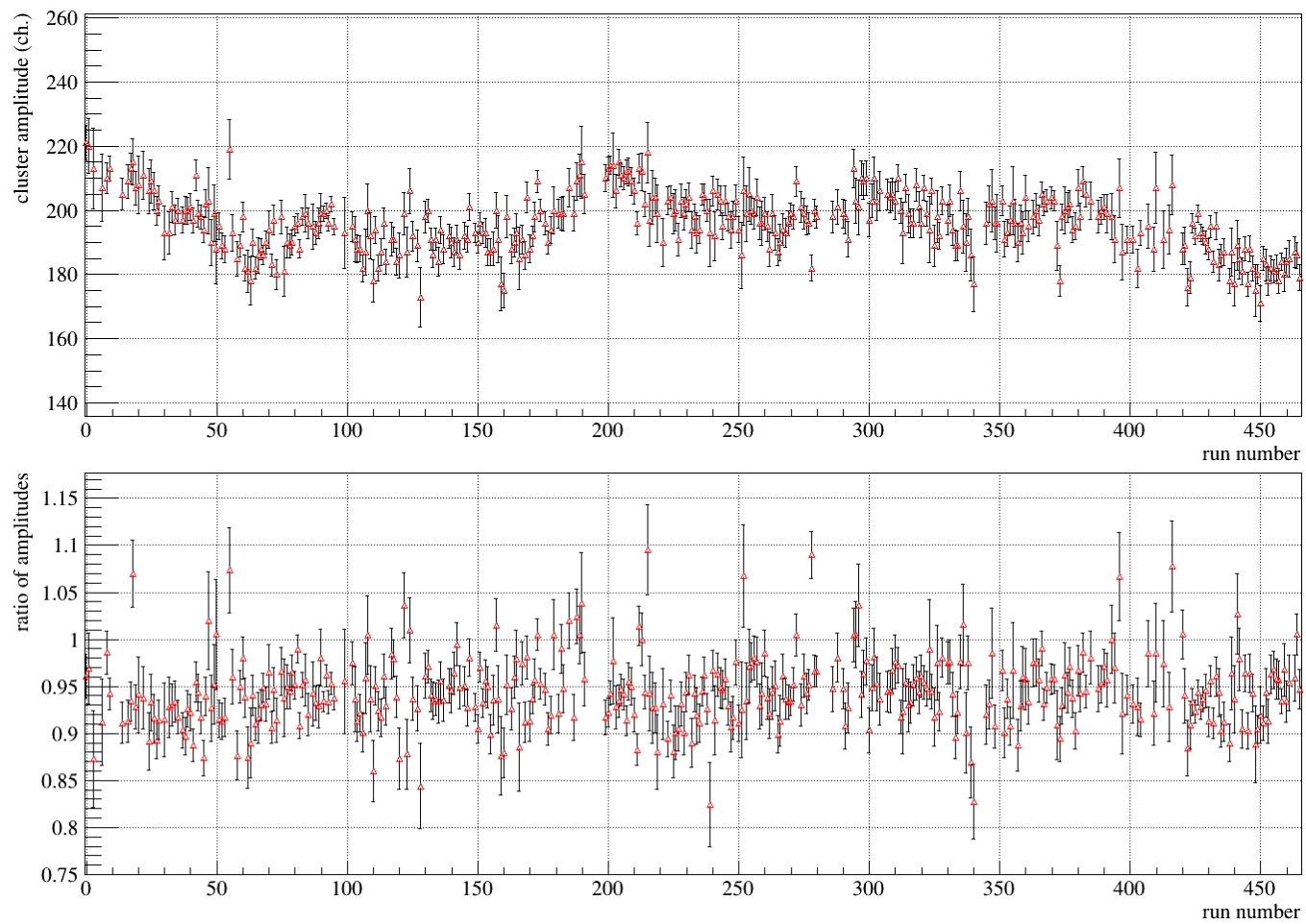


Рис. 1: Амплитуда и отношение амплитуды треков<sup>+</sup> сектора 3 к базовой (сектор 1) в GEM-1.

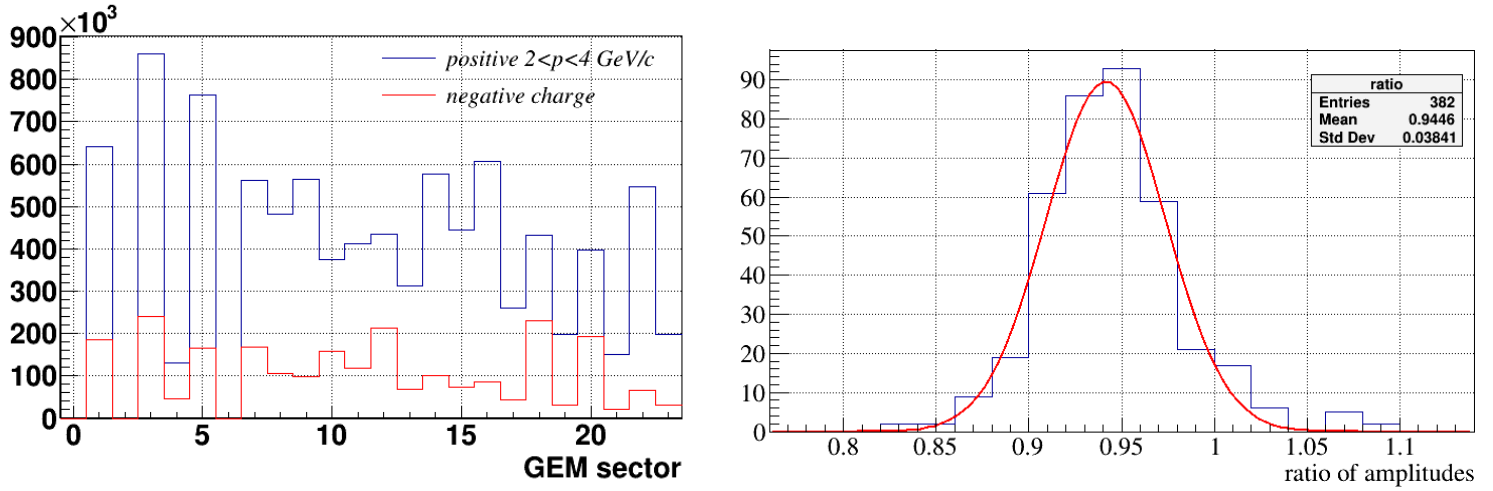


Рис. 2: Слева - Полная статистика по секторам в успешно профитированных ранах. Справа - отношение амплитуда сектора 3 к базовой, измеренное в разных ранах.

	positive tracks				negative tracks			
	0	1	2	3	0	1	2	3
0	-	1.063	-	1	-	1.063	-	1.052
1	1.031	1	-	0.940	-	1.032	-	0.969
2	1.293	1	1.369	0.945	1.337	1.040	1.418	1.010
3	1.448	1.082	1.431	1	1.456	-	1.422	0.963
4	1	0.971	1.036	0.873	1.042	-	1.095	-
5	1.114	0.996	1	0.928	1.179	-	1.039	-

Таблица 1: Отношение амплитуды сектора к амплитуде базового в плоскости.



Рис. 3: Время облучения по uni\_db/examples/Trigger/run\_beam\_info.C. Зеленые линии - часы, синевые - конец суток (24:00).

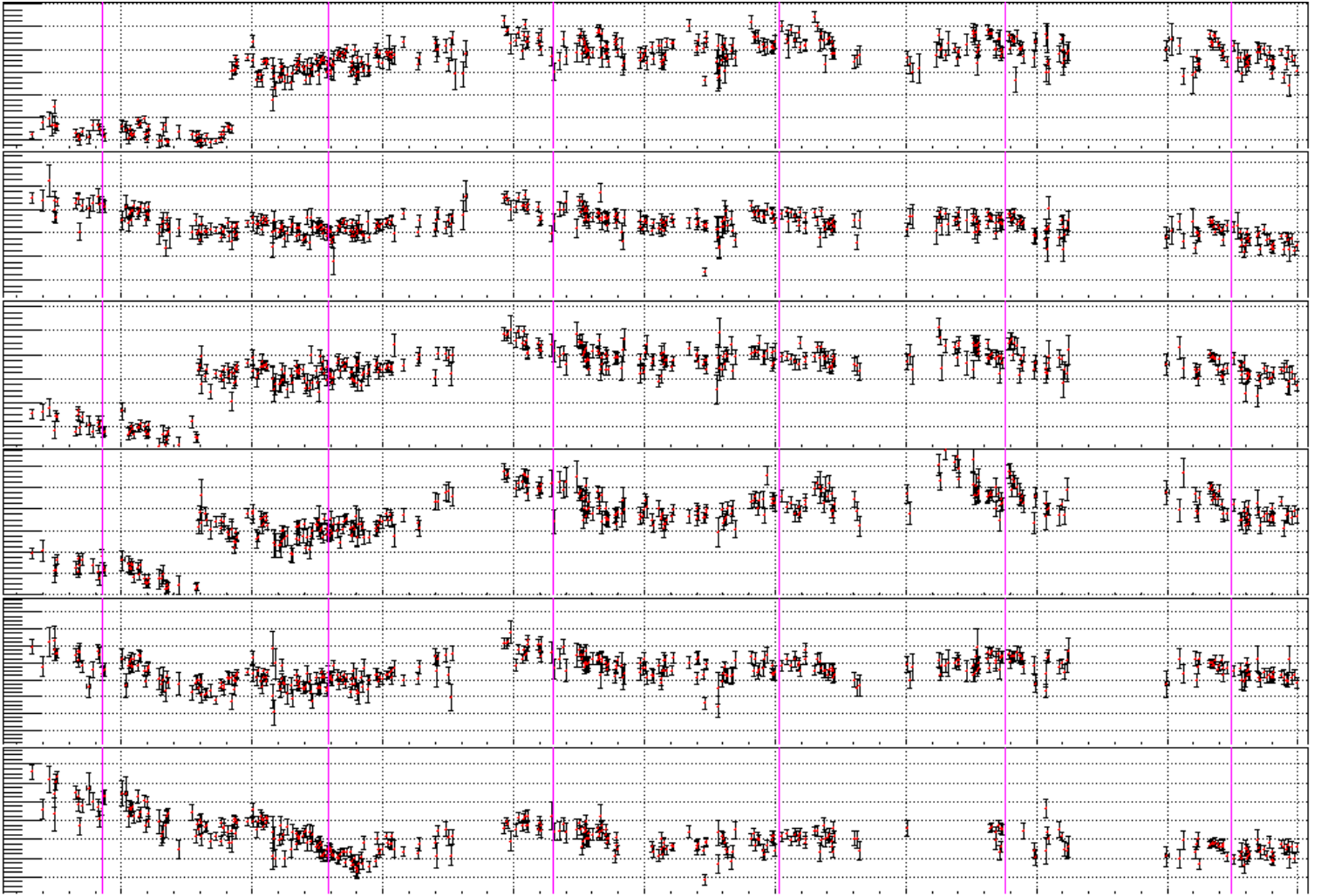


Рис. 4: Амплитудные калибровки базовых секторов всех шести GEM-ов в зависимости от времени облучения. Шкала по  $y$  -  $\pm 30\%$  от среднего. Используются классы `GemGoodHvRun7.h` (проверка GEM на трип HV в выбранном ране) и `ExposeTimeRun7.h` (время начала и конца ране).

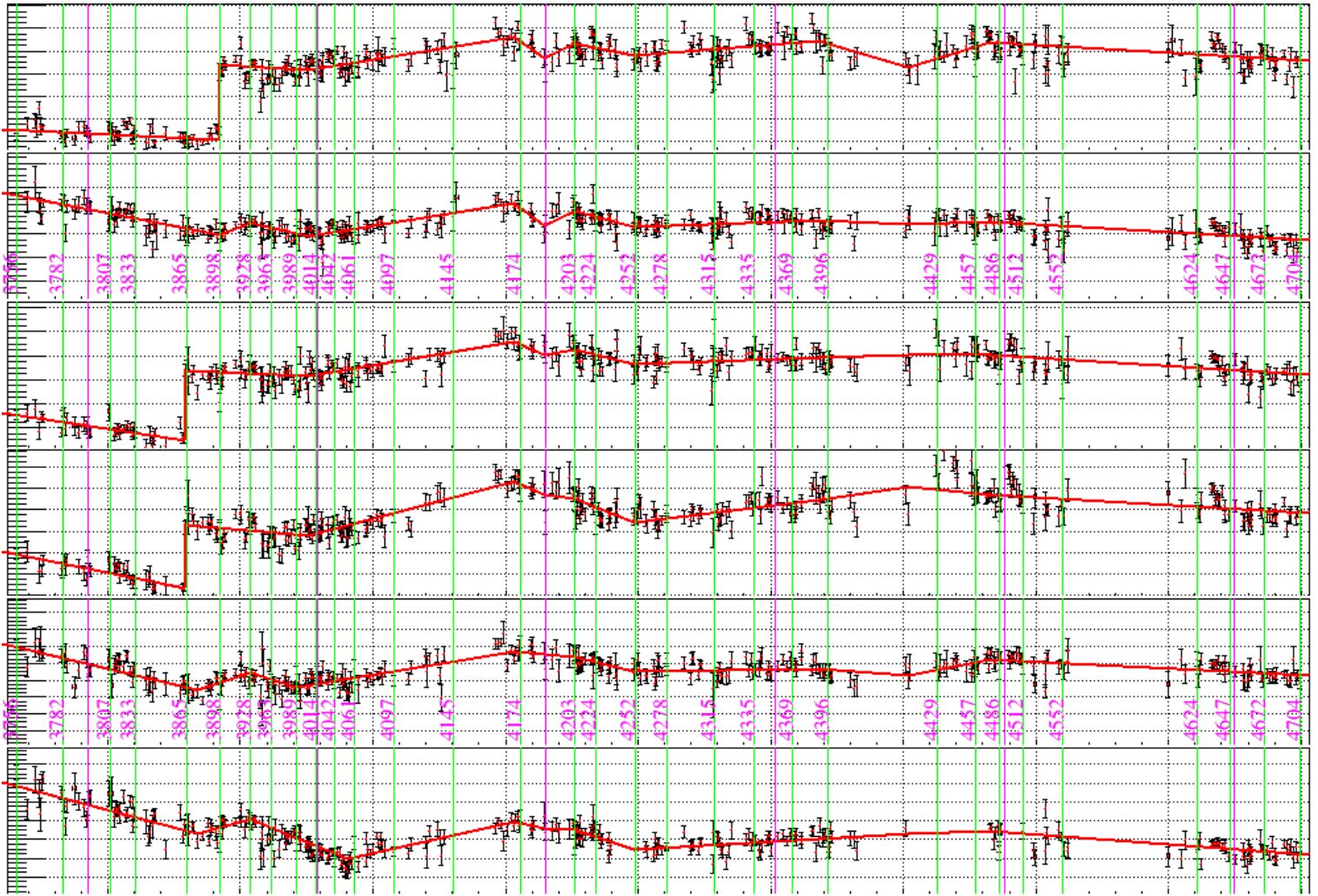


Рис. 5: Сглаженная (polyline) ран-зависимость амплитуд базовых секторов GEM. Использован класс GemLandauFitRun7.h чтения результатов Ландау фита.

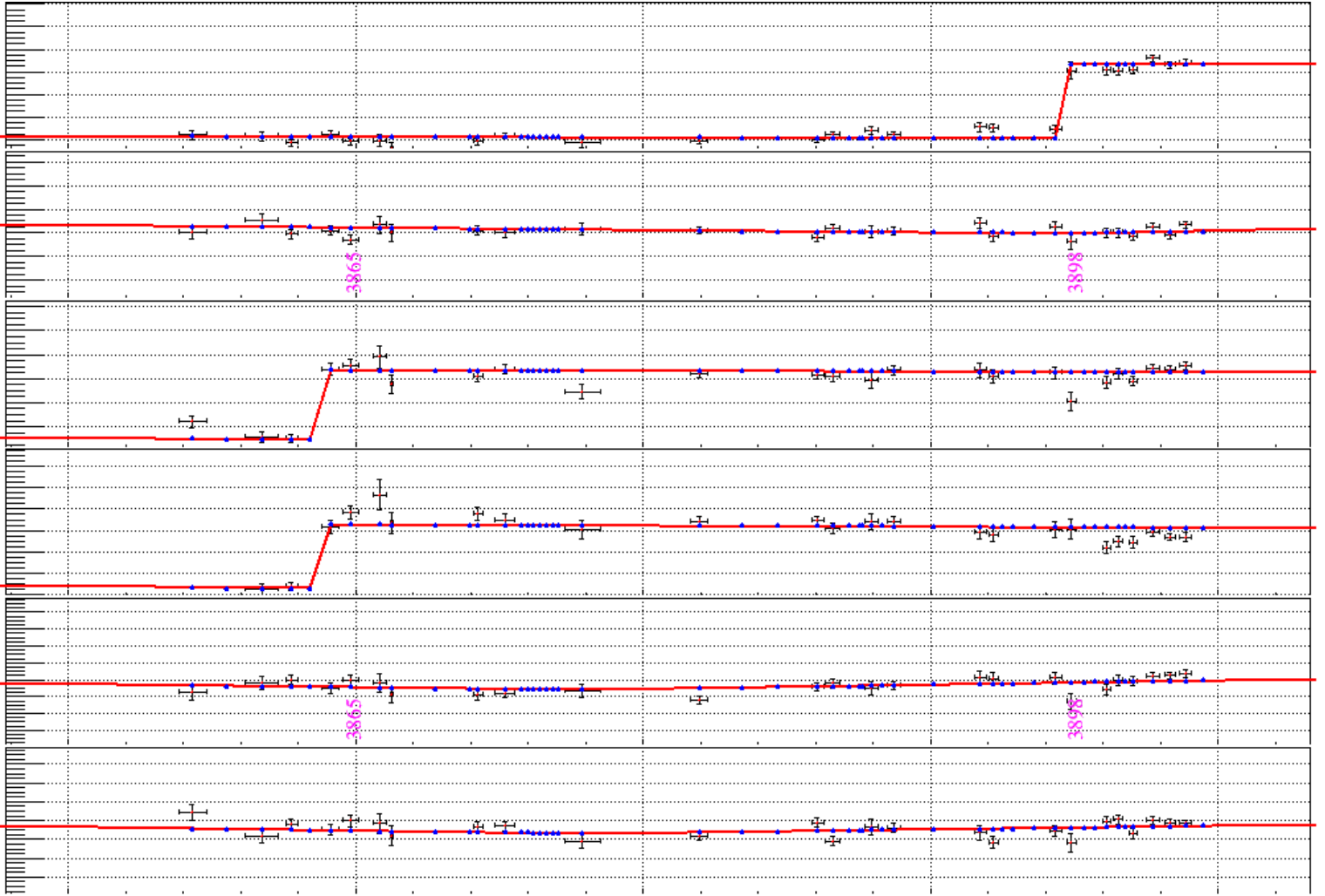


Рис. 6: Синие точки - полученные с помощью класса *GemMPAmplRun7* амплитуды для **всех** номеров рангов, включая несуществующие.



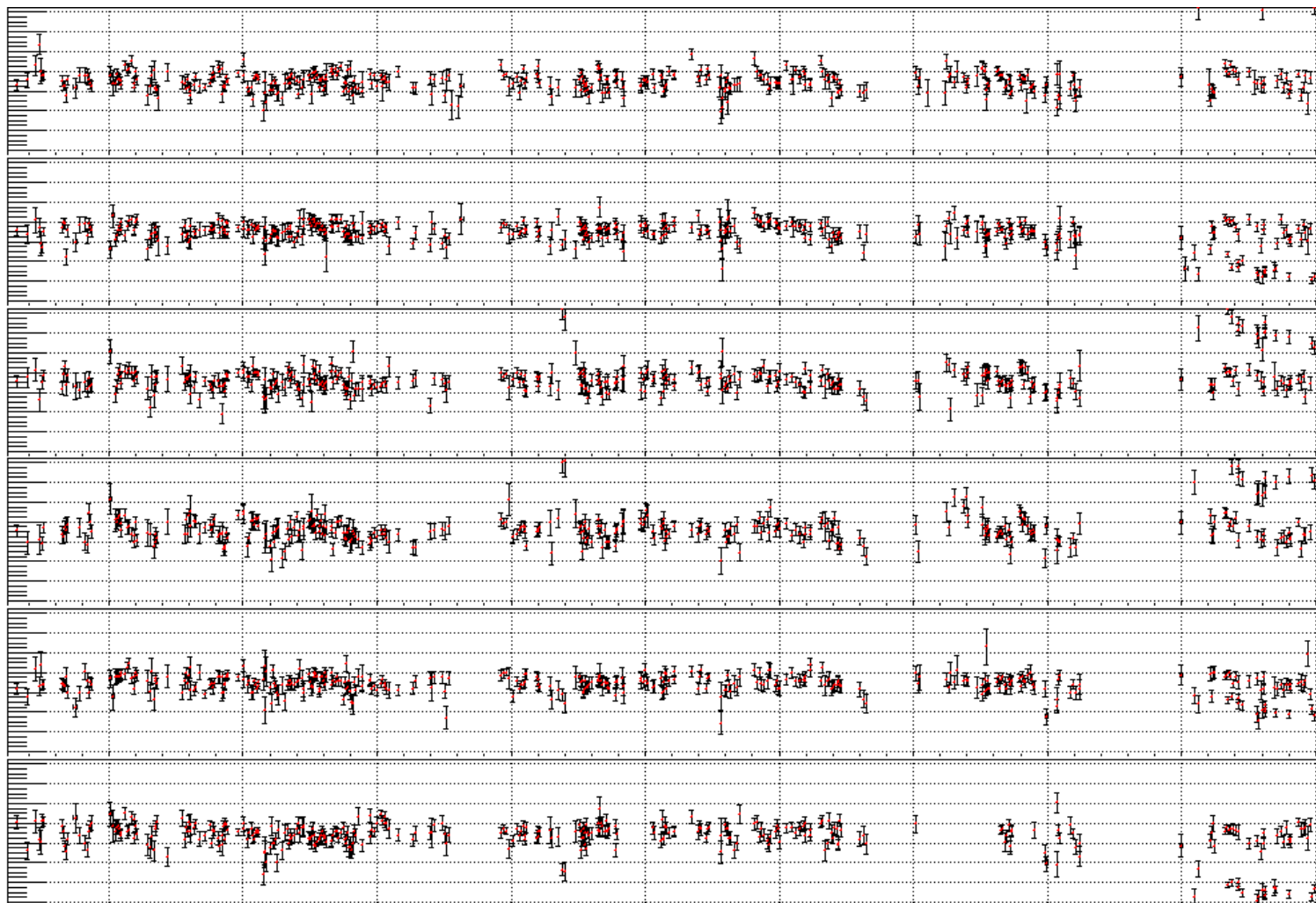


Рис. 7: Результаты фита выровненных по усилению базовых секторов при определении номера рана из `BmnEventHeader::GetRunId()`. Шкала по  $y$  -  $\pm 30\%$  от среднего (250 ch).

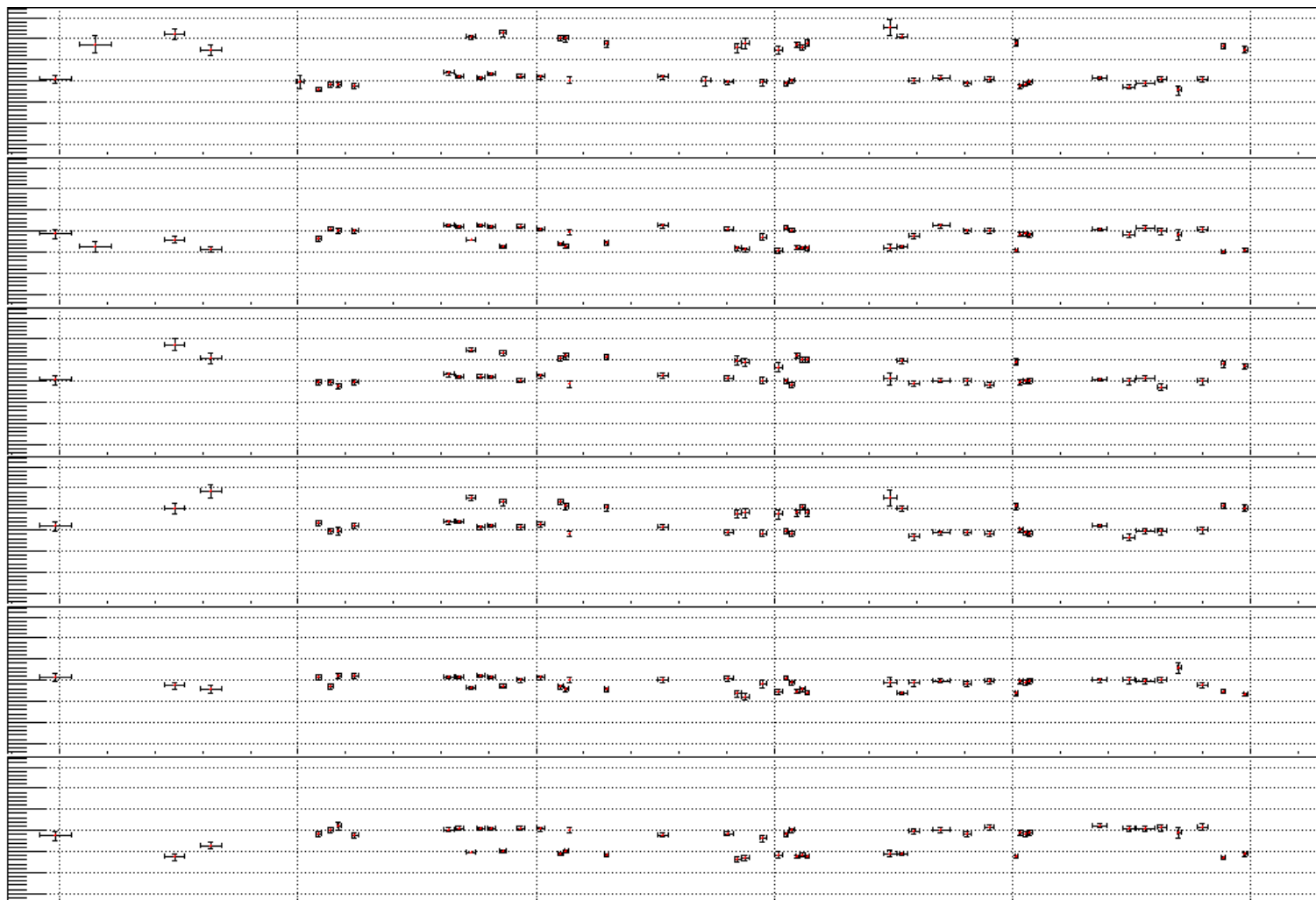


Рис. 8: Результаты фита выровненных по усилению базовых секторов для  $R_{\text{in}} > 4612$ . Шкала по  $y$  -  $\pm 70\%$  от среднего (250 ch). 29-ОCT-2021

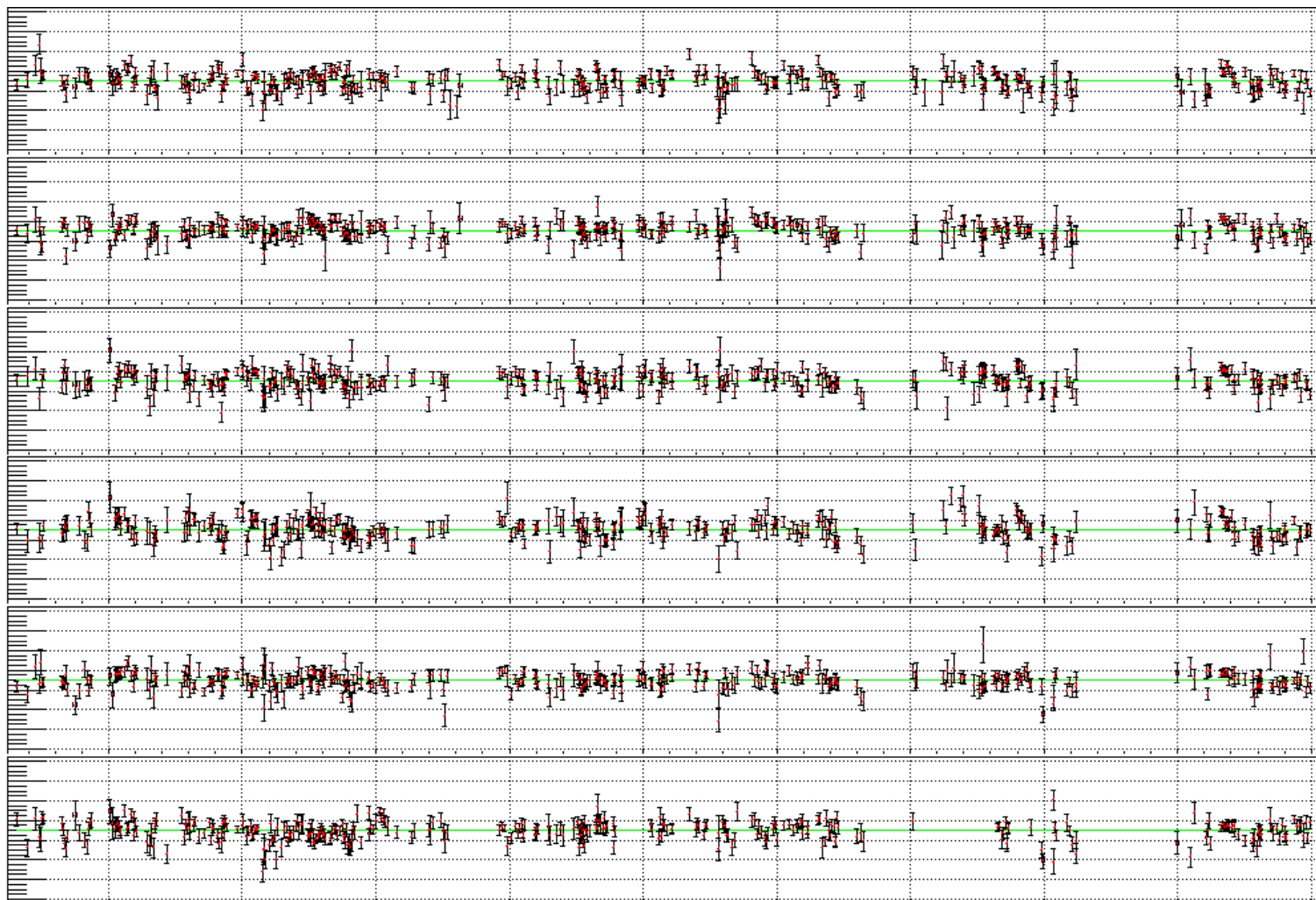


Рис. 9: Результаты фита выровненных по усилению базовых секторов при определении номера рана из названия файла (Скачки усиления были из-за ошибок `BmnEventHeader::GetRunId()`). Шкала по  $y$  -  $\pm 30\%$  от среднего (250 ch). 31-ОCT-2021

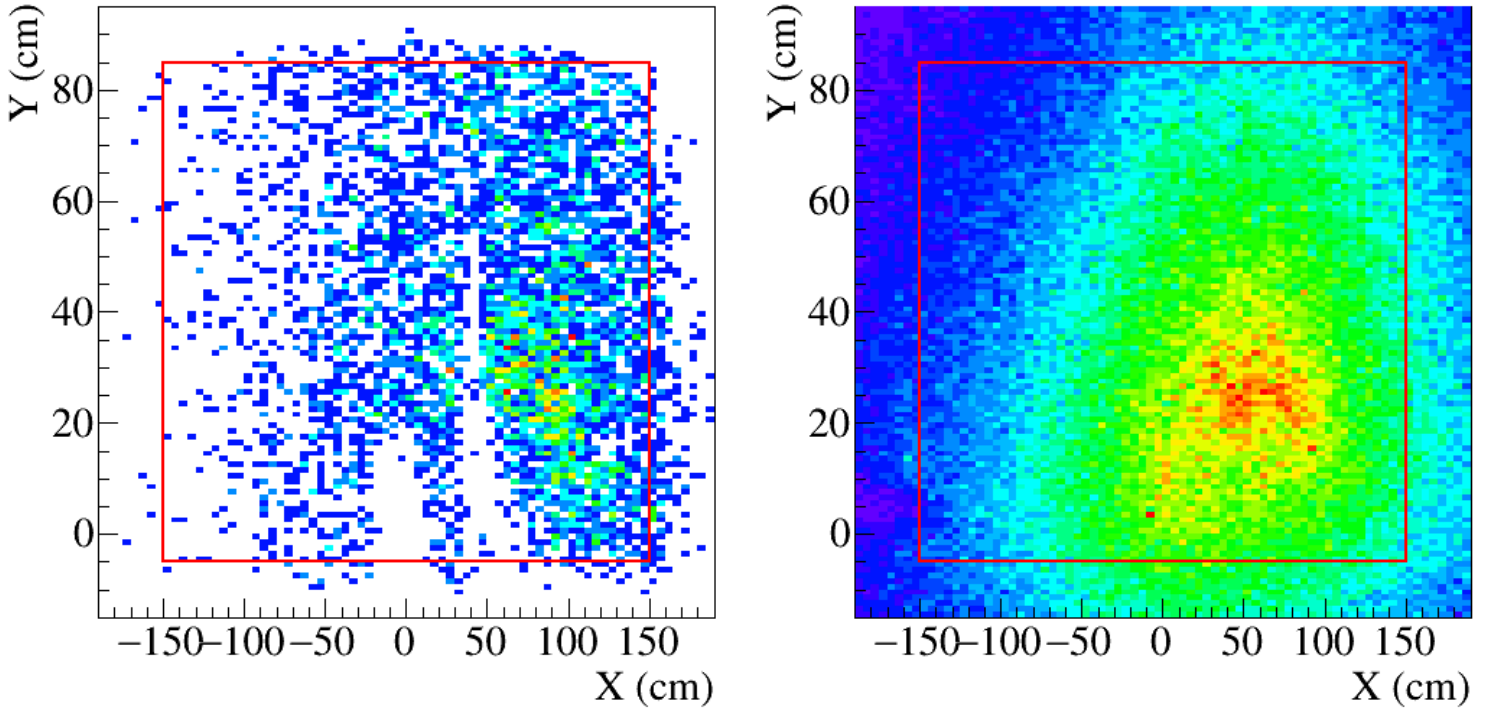


Рис. 10: Попадание в TOF700  $z \approx 700$ ,  $|x| < 150$ ,  $-5 < y < 85$ .

	0	1	2	3	4
measured TOF		+			
$n_{\text{Gem}} \geq 4 \&\& n_{\text{Si}} \geq 2$			+		+
$z \approx 700$ , $ x  < 150$ , $-5 < y < 85$				+	+
N	2464k	5413	83k	407k	42.9k
%	100	0.22	3.4	16.5	1.74

Таблица 2: Статистика треков при использовании катов. Run 4649. Полное количество треков - 2464k; треков с измеренным временем 5413 (0.22%). Статус экстраполяции треков в вершину и tof700 убивает 109k треков с  $|pq| \sim 6$ , в основном с  $n_{\text{hits}}=3$  и немного с  $n_{\text{hits}}=4$ .

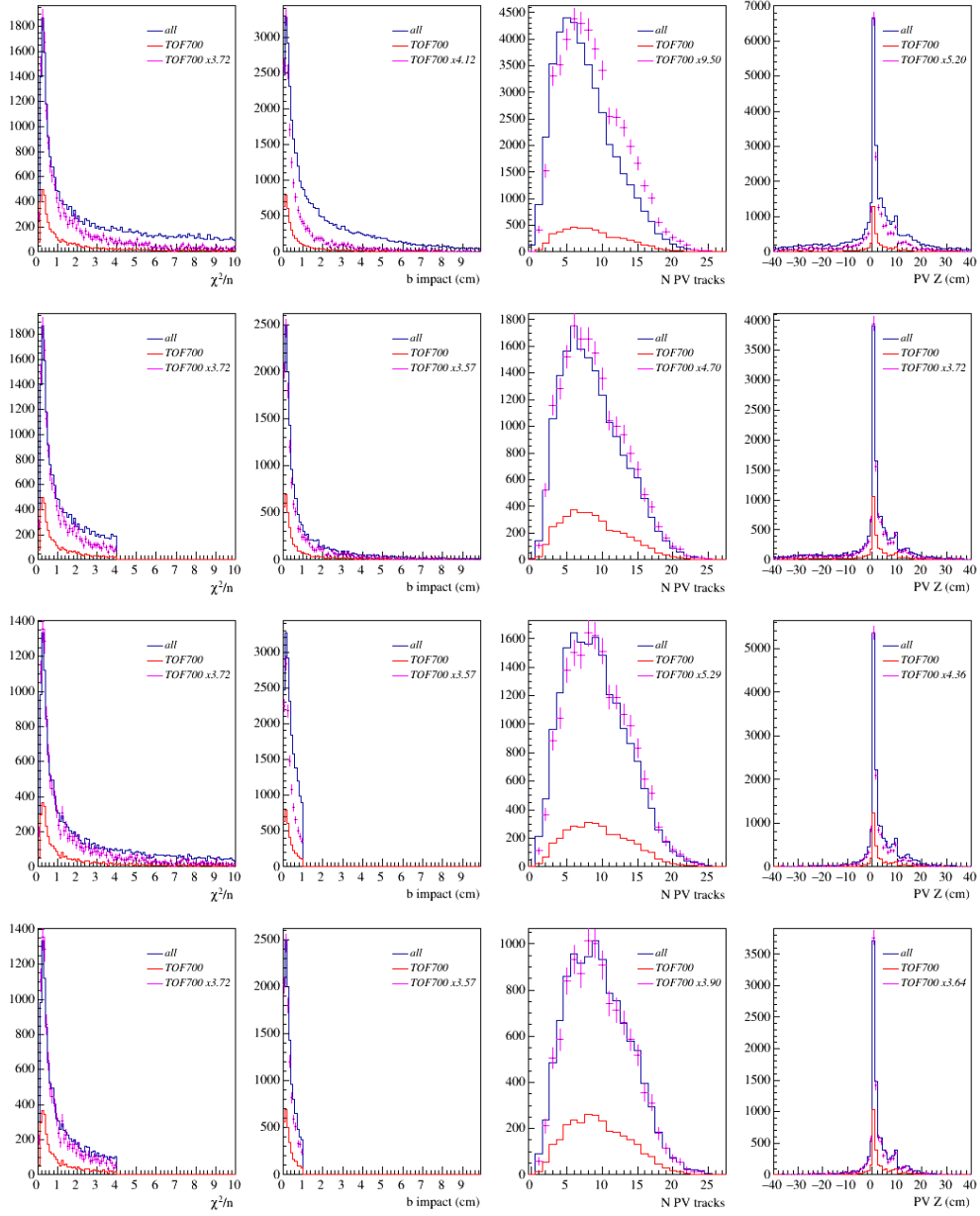


Рис. 11: **Верх:** Сравнение распределений для треков после наложения катов на количество хитов ( $n_{\text{Gem}} \geq 4$  &  $n_{\text{Si}} \geq 2$ ) и попадание в TOF700 ( $z \equiv 700$ ,  $|x| < 150$ ,  $-5 < y < 85$ ). **Ниже:** Накладываются дополнительные каты на  $\chi^2/n$  и прицельный параметр.

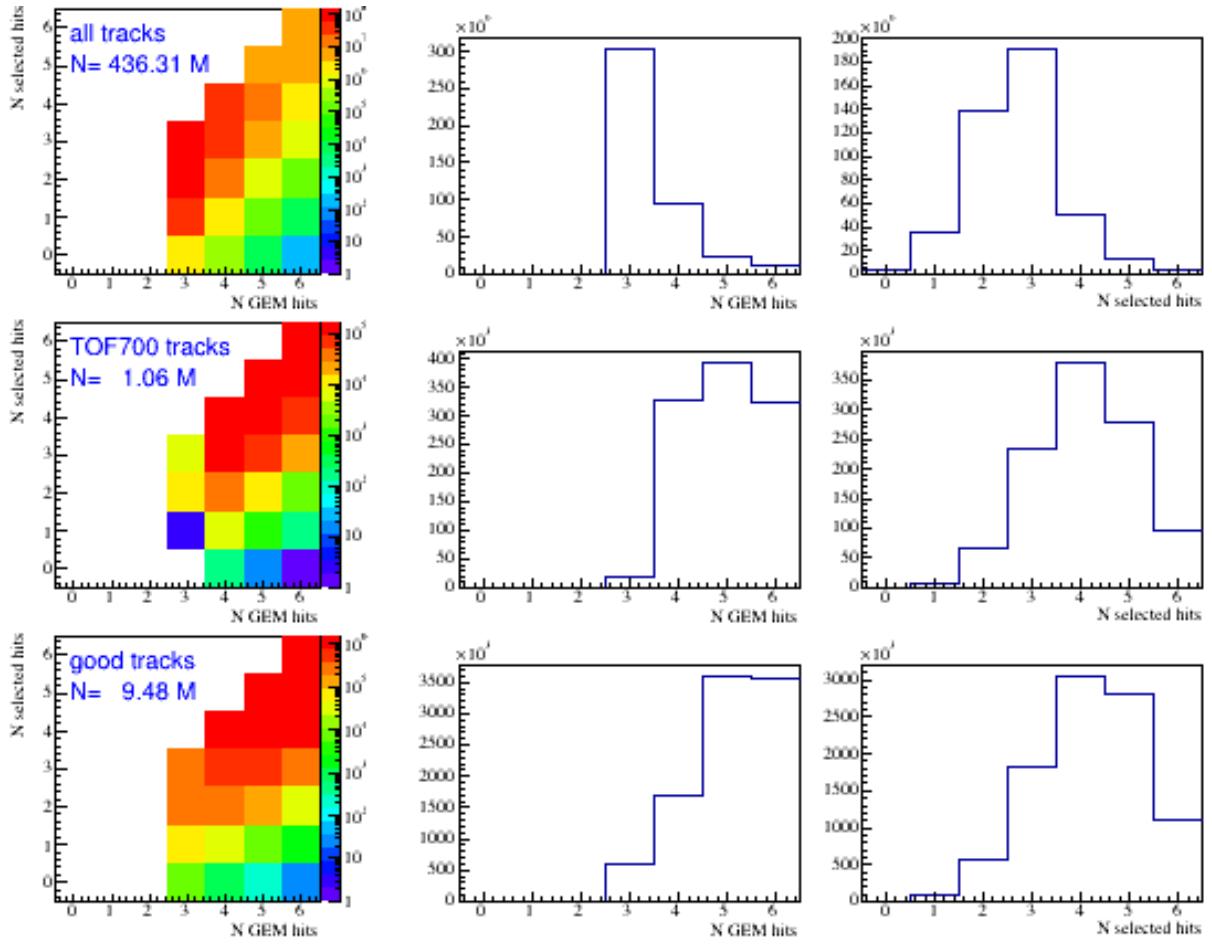


Рис. 12: Количество GEM и отобранных для  $dE/dx$  анализа хитов на треках. 466 рангов. У TOF700 треков около 6% треков с  $N_{SEL} < 3$ , т.е. выпадают из анализа.

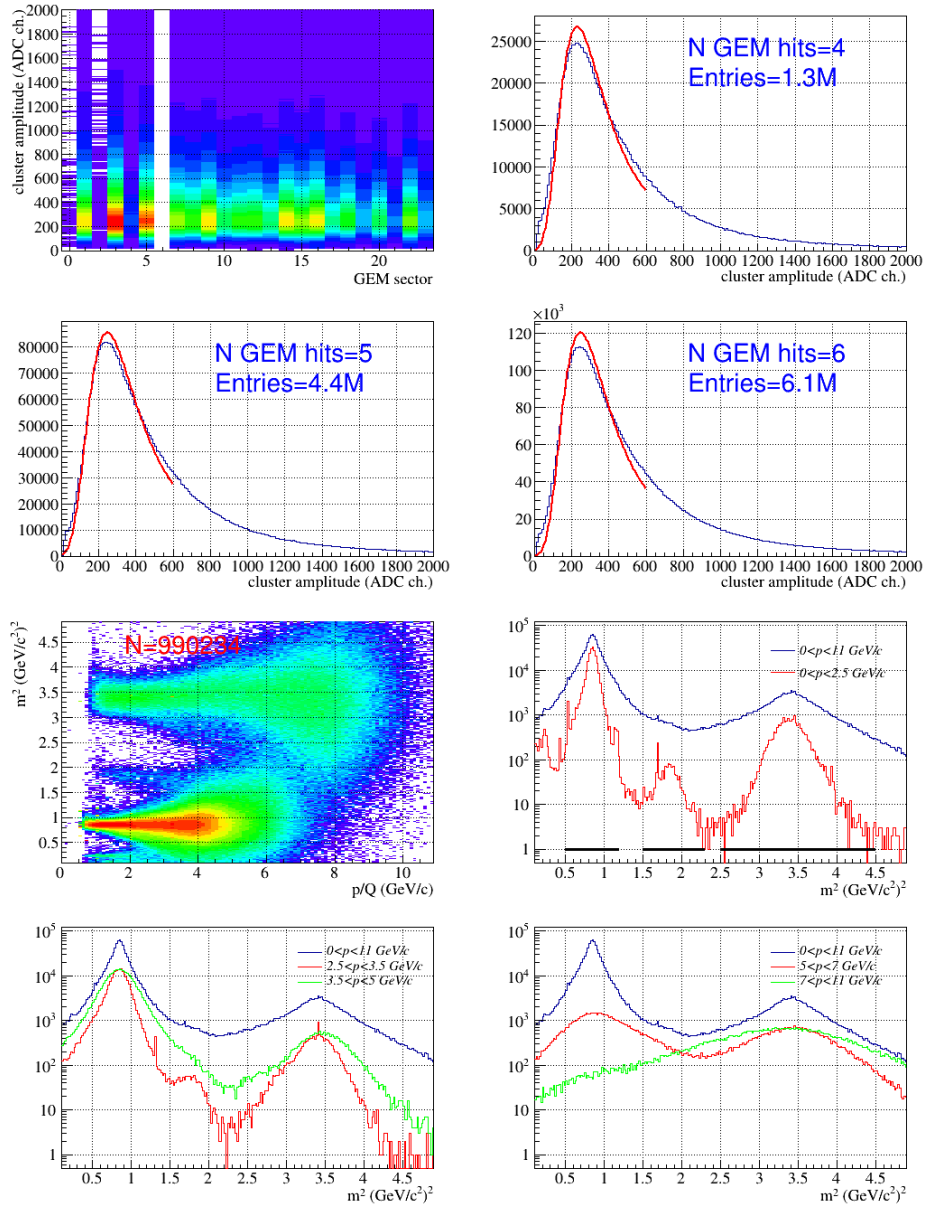


Рис. 13: **Верх:** Амплитуды GEM после коррекций ( $N_{PVT_r} \leq 2$ ,  $|Z_{PV}| < 5$  см,  $b_{imp} < 0.3$  см, goodGemArea). **Ниже:**  $m^2$  vs  $p$ .  $m^2$  пределы идентификации:  $\pi$ : 0.1-0.35); tofPid=1;  $p$ : 0.5-1.2;  $^3\text{He}$ : 1.5-2.3;  $\text{He}$ : 2.5-4.5.

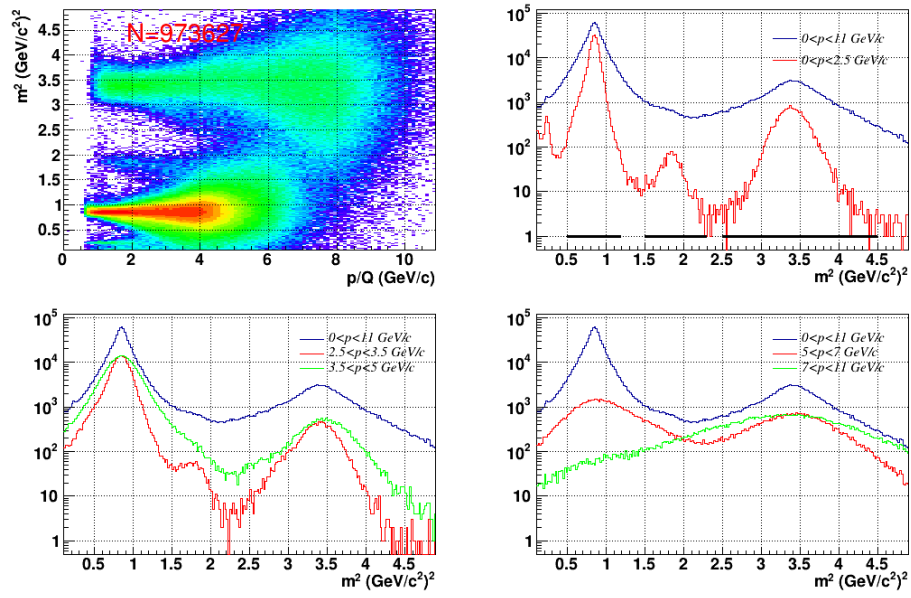


Рис. 14:  $m^2$  vs  $p$ .  $m^2$  пределы идентификации:  $\pi$ : 0.1-0.35);  $\text{tofPid}=1$ ;  $p$ : 0.5-1.2;  ${}^3\text{He}$ : 1.5-2.3;  $\text{He}$ : 2.5-4.5. Выброшен run 4548 с повторяющимися массами.



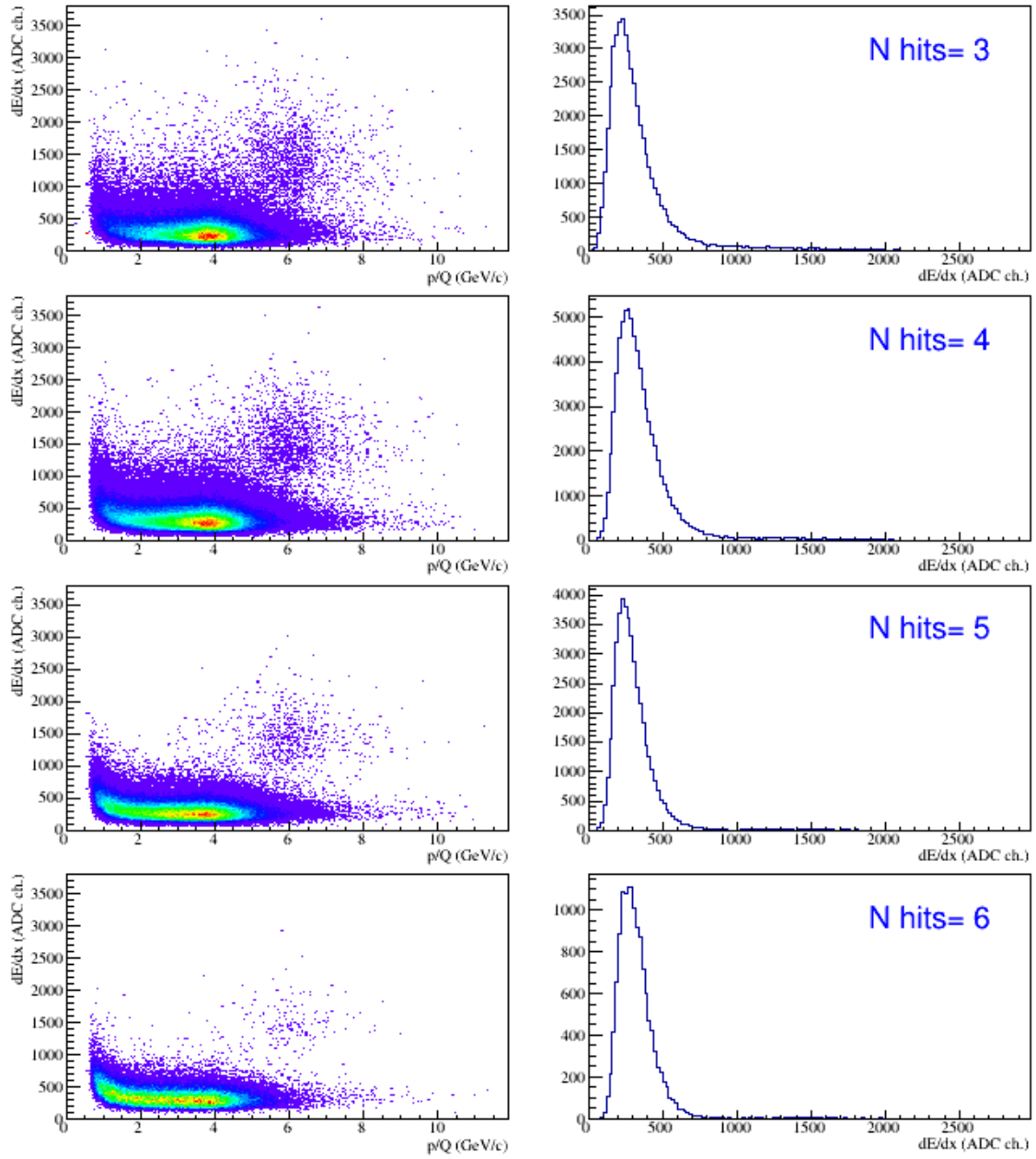


Рис. 15: Protons:  $0.5 < m^2 < 1.2$  ( $\text{GeV}/c^2$ )<sup>2</sup>. Справа:  $4 < p/Q < 9$   $\text{GeV}/c$ .

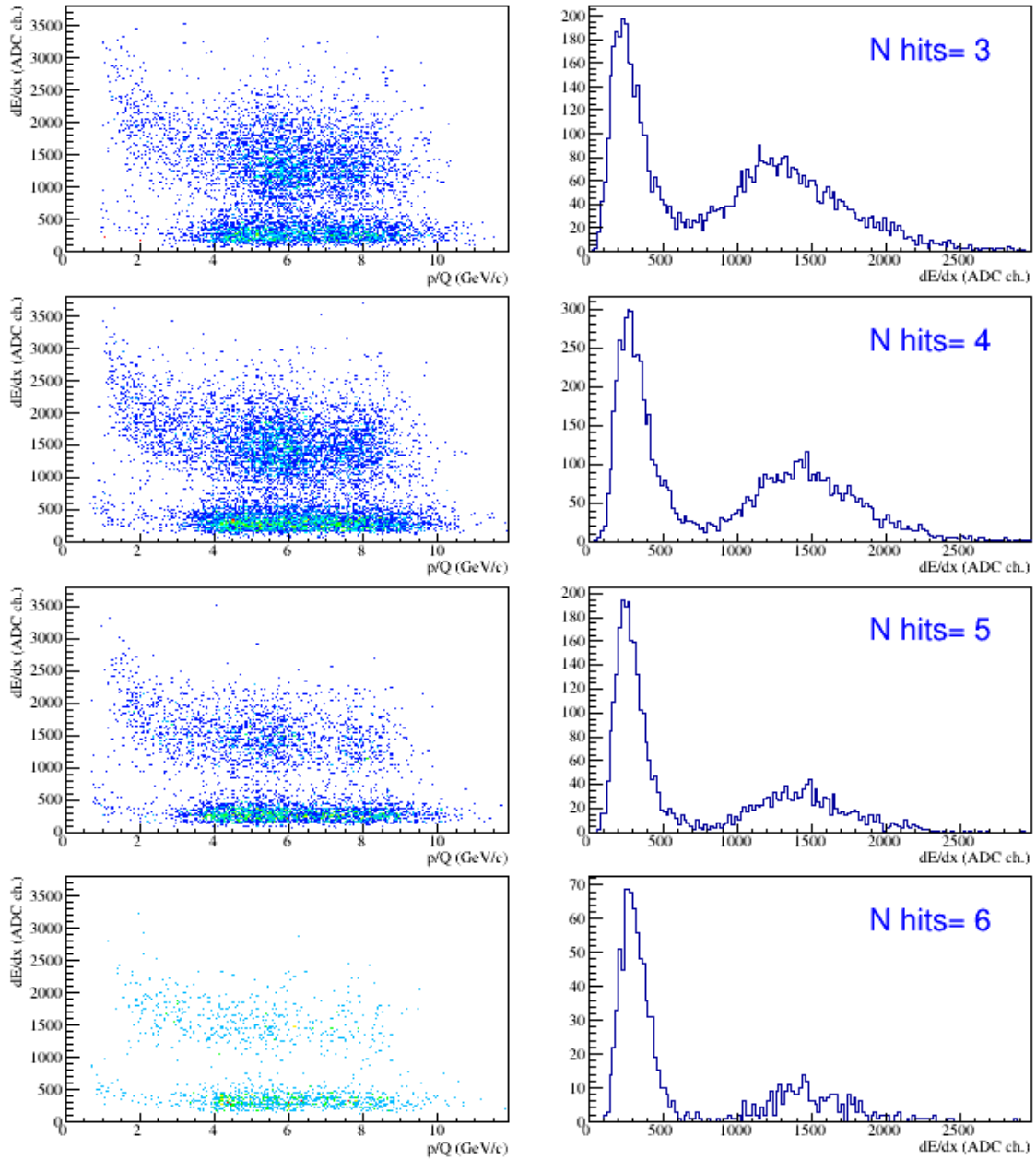


Рис. 16:  ${}^3\text{He}$ :  $1.5 < m^2 < 2.3$  ( $\text{GeV}/c^2$ )<sup>2</sup>. Справа:  $4 < p/Q < 9$  GeV/c. Похоже,  ${}^4\text{He}$  погибает в этот коридор.

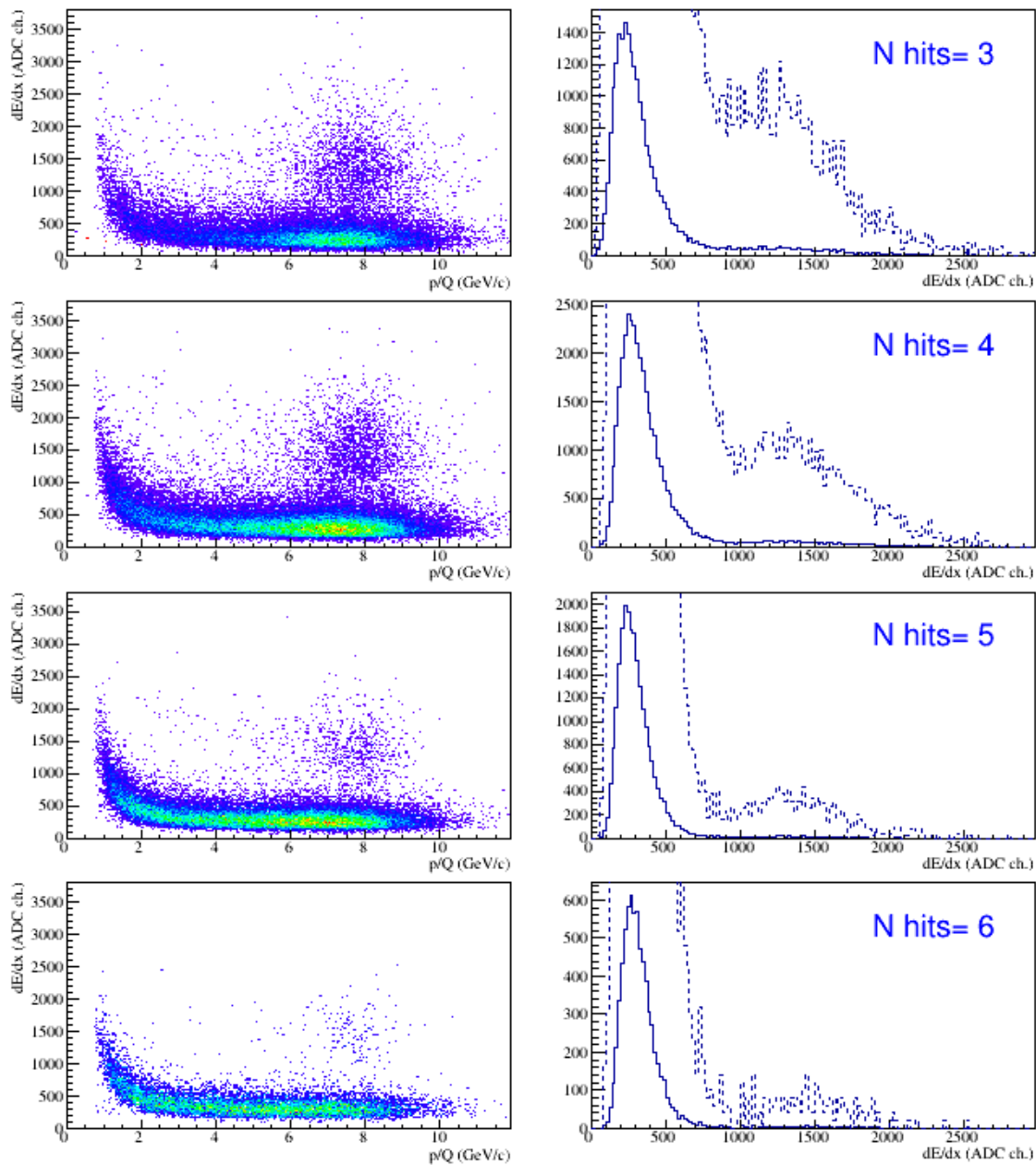


Рис. 17: d and  ${}^4\text{He}$ :  $2.5 < m^2 < 4.5$  ( $\text{GeV}/c^2$ ) $^2$ . Справа:  $4 < p/Q < 9$  GeV/c. Пунктир - гистограмма умножена на 20.

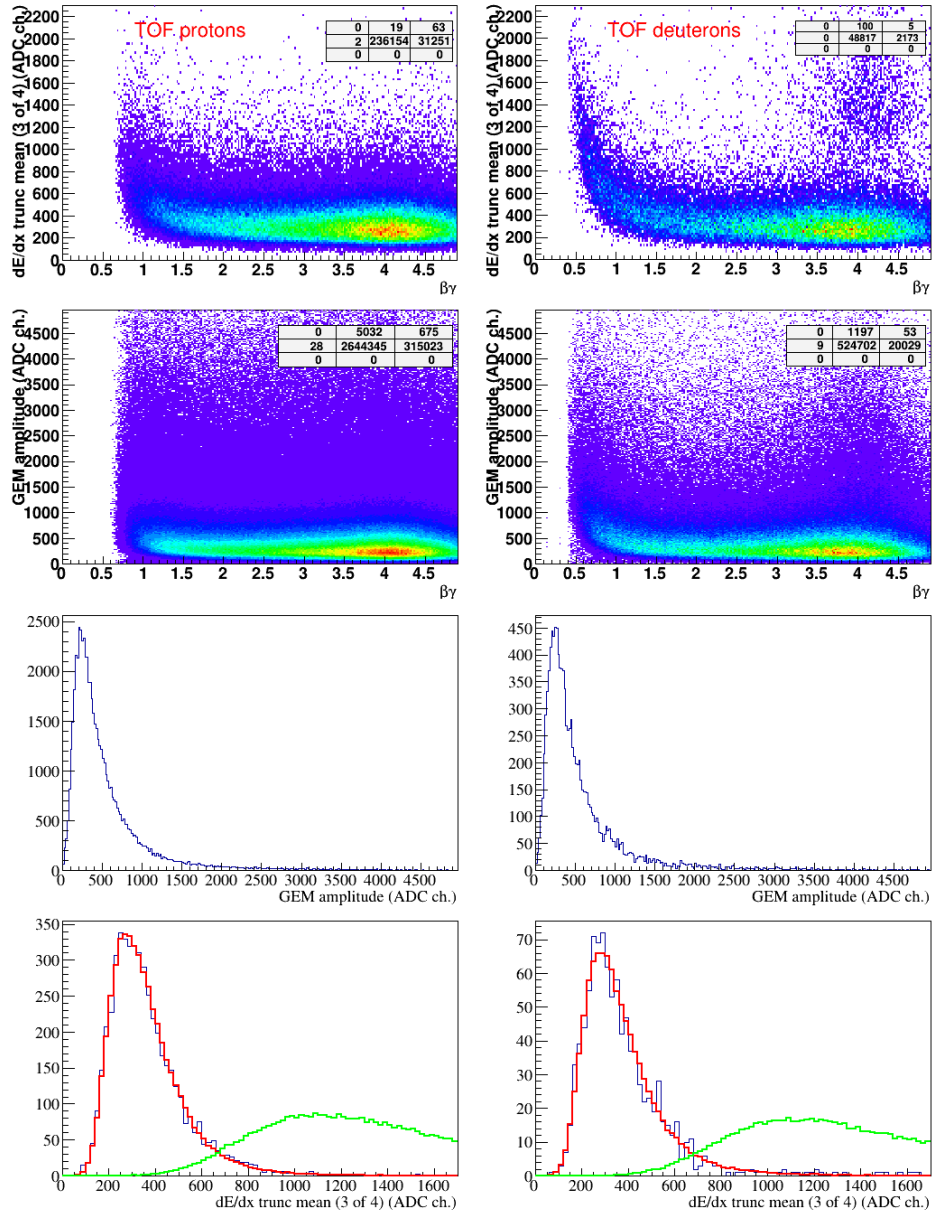


Рис. 18: Оценка энергетических потерь 4-хитовых треков и потери в плоскости GEM для треков, отобранных в TOF-700, как протоны и дейтроны. Нижний ряд: потери трека и разыгрыш из потерь в плоскостях для  $2.5 < \beta\gamma < 2.6$ .

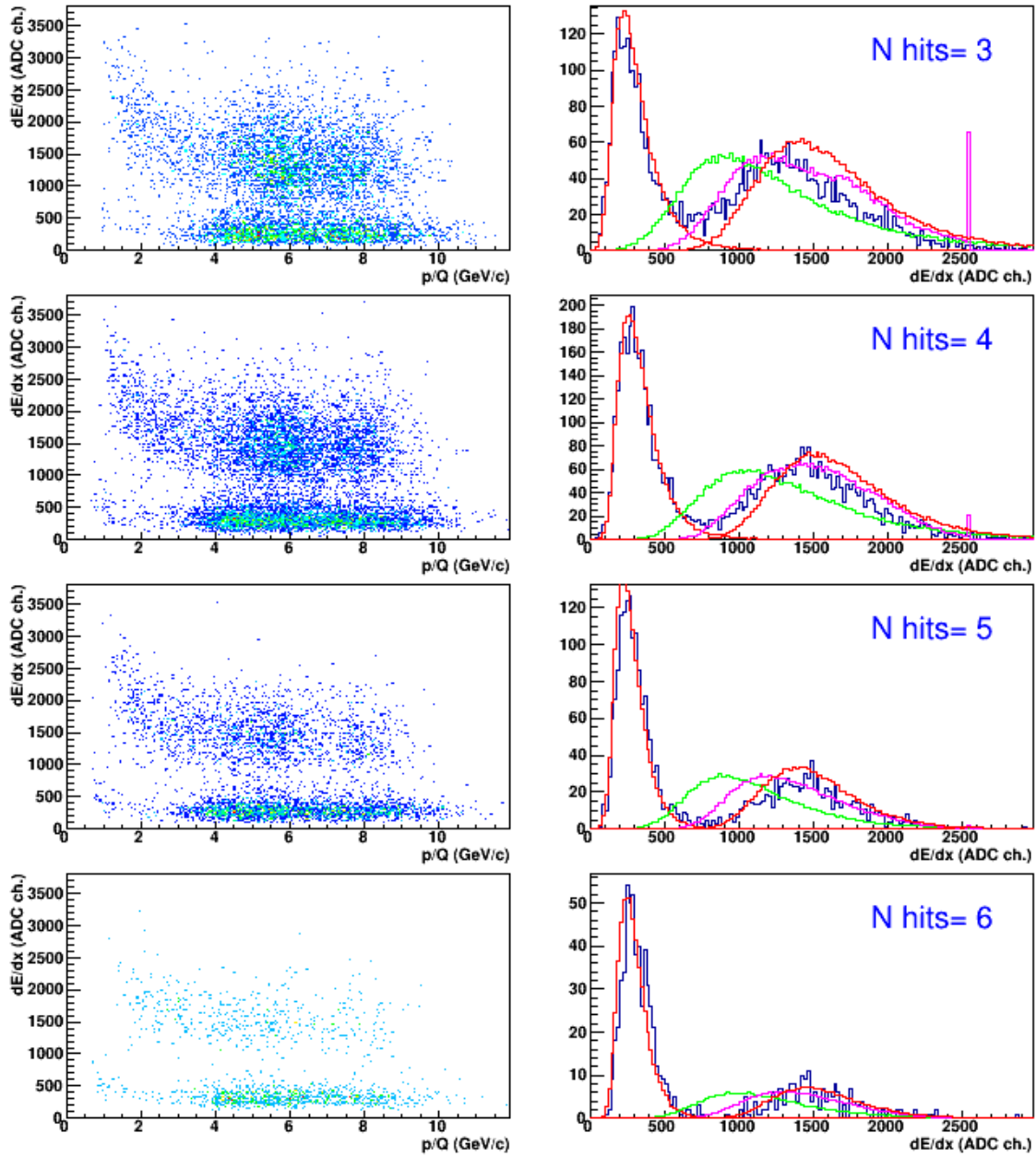


Рис. 19:  ${}^3\text{He}$ :  $1.5 < m^2 < 2.3 \text{ (GeV/c}^2\text{)}^2$ . Справа:  $4 < p/Q < 7 \text{ GeV/c}$ . Зеленый -  $A_d = 4 A_p$ , сиреневый -  $A_d = \text{Min}(4*(A_p + 70), 2548)$ , красный -  $A_d = \sum_4 A_p$ .

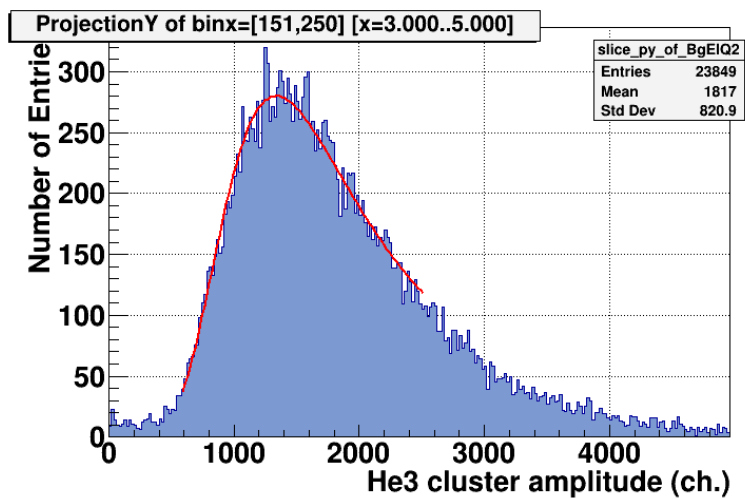


Рис. 20: .